

## 有耗介质中的电磁波以及坡印廷矢量的计算：

拿到题目先判断是否满足： $\frac{\sigma}{\omega\epsilon} \gg 1$ （是否良导电）

若不满足则有  $\tilde{k} = \omega\sqrt{\mu\epsilon}\left(1 - j\frac{\sigma}{2\omega\epsilon}\right)$ ,  $k_r = \omega\sqrt{\mu\epsilon}$ ,  $k_i = \frac{\sigma}{2}\sqrt{\frac{\mu}{\epsilon}}$ ,  $\varphi = \arctan\frac{k_i}{k_r}$

一般情况题目满足条件，有  $\tilde{k} = \sqrt{\frac{\omega\mu\sigma}{2}}(1-j)$ ,  $k_r = k_i = \sqrt{\frac{\omega\mu\sigma}{2}}$ ,  $\varphi = \frac{\pi}{4}$

趋肤深度  $\delta = \frac{1}{k_i} = \sqrt{\frac{2}{\omega\mu\sigma}}$

波阻抗  $\tilde{\eta} = \frac{\omega\mu}{\tilde{k}}$

波长  $\lambda = 2\pi/k_r$ , 相速度  $v_p = \omega/k_r$

此时若已知电场，则磁场表达式为，注意此时电场磁场有相差  $\varphi$

$$\tilde{H} = \frac{1}{|\eta|} \bar{k}_0 \times \tilde{E} \cdot e^{-j\pi/4}, \quad \bar{H} = \frac{1}{|\eta|} e^{-\bar{k}_i \cdot \bar{r}} \bar{E}_0 \cos(\omega t - \bar{k}_r \cdot \bar{r} - \pi/4)$$

进而也可求得坡印廷矢量：

$$\tilde{S} = \tilde{E} \times \tilde{H}^*, \quad \bar{S} = \bar{E} \times \bar{H}, \quad \langle \bar{S} \rangle = \frac{1}{2} \text{Re} \left\{ \tilde{E} \times \tilde{H}^* \right\}$$

## 其他相关公式：

$$\tilde{H} = -\frac{1}{j\omega\mu} \nabla \times \tilde{E}$$

$$\tilde{E} = \frac{1}{j\omega\epsilon} \nabla \times \tilde{H}$$

对于TE波（垂直极化）：

$$\bar{E} = \frac{1}{\omega\epsilon} \bar{H} \times \bar{k}, \quad Z = \eta = \frac{\omega\mu}{k_z}$$

对于TM波（水平极化）：

$$\bar{H} = \frac{1}{\omega\mu} \bar{k} \times \bar{E}, \quad Z = \eta = \frac{k_z}{\omega\epsilon}$$

## 介质分界面、极化情况与布儒斯特角：

先给出相关公式：

$$\text{折射定律: } \sqrt{\varepsilon_1} \sin \theta_1 = \sqrt{\varepsilon_2} \sin \theta_2$$

$$k_x = k_1 \sin \theta_i, \quad k_{z1} = \sqrt{k_1^2 - k_x^2} = k_1 \cos \theta_i$$

$$k_{z2} = \sqrt{k_2^2 - k_x^2} = \sqrt{k_2^2 - k_1^2 \sin^2 \theta_i}$$

对于TE分量（垂直极化）一般 $E$ 沿 $y$ 方向：

$$Z_1 = \frac{\omega\mu}{k_{z1}}, \quad Z_2 = \frac{\omega\mu}{k_{z2}}$$

$$\Gamma = \frac{E_y^r}{E_y^i} = \frac{k_{z1} - k_{z2}}{k_{z1} + k_{z2}}, \quad T = \frac{E_y^t}{E_y^i} = 1 + \Gamma$$

$$\bar{E}_y^i = \bar{y}_0 E_0 e^{-j(k_x x + k_{z1} z)}, \quad \bar{E}_y^r = \bar{y}_0 \Gamma E_0 e^{-j(k_x x - k_{z1} z)}, \quad \bar{E}_y^t = \bar{y}_0 T E_0 e^{-j(k_x x + k_{z2} z)}$$

$$\bar{H}_x^i = -\bar{x}_0 \frac{E_0}{\eta_1} e^{-j(k_x x + k_{z1} z)}, \quad \bar{H}_x^r = \bar{x}_0 \Gamma \frac{E_0}{\eta_1} e^{-j(k_x x - k_{z1} z)}, \quad \bar{H}_x^t = -\bar{x}_0 T \frac{E_0}{\eta_2} e^{-j(k_x x + k_{z2} z)}$$

$$\bar{H}^i = -\frac{1}{j\omega\mu} \nabla \times \bar{E}_y^i, \quad \bar{H}^r = -\frac{1}{j\omega\mu} \nabla \times \bar{E}_y^r, \quad \bar{H}^t = -\frac{1}{j\omega\mu} \nabla \times \bar{E}_y^t$$

对于TM分量（水平极化）一般 $H$ 沿 $y$ 方向：

$$Z_1 = \frac{k_{z1}}{\omega\varepsilon_1}, \quad Z_2 = \frac{k_{z2}}{\omega\varepsilon_2}$$

$$\Gamma = \frac{E_y^r}{E_y^i} = -\frac{H_y^r}{H_y^i} = \frac{\varepsilon_1 k_{z2} - \varepsilon_2 k_{z1}}{\varepsilon_1 k_{z2} + \varepsilon_2 k_{z1}}, \quad T = \frac{H_y^t}{H_y^i} = 1 - \Gamma$$

$$\bar{H}_y^i = \bar{y}_0 H_0 e^{-j(k_x x + k_{z1} z)}, \quad \bar{H}_y^r = -\bar{y}_0 \Gamma H_0 e^{-j(k_x x - k_{z1} z)}, \quad \bar{H}_y^t = \bar{y}_0 T H_0 e^{-j(k_x x + k_{z2} z)}$$

$$\bar{E}^i = \frac{1}{j\omega\varepsilon} \nabla \times \bar{H}_y^i, \quad \bar{E}^r = \frac{1}{j\omega\varepsilon} \nabla \times \bar{H}_y^r, \quad \bar{E}^t = \frac{1}{j\omega\varepsilon} \nabla \times \bar{H}_y^t$$

以下题为例进行记录：

2、(20分) 一均匀平面波  $\mathbf{E}(\mathbf{r}) = (j\mathbf{x}_0 + \mathbf{y}_0 2 - j\sqrt{3}\mathbf{z}_0) e^{-j(ax+bz)} \text{ V/m}$ ，自空气中向  $\mu = \mu_0, \varepsilon = 3\varepsilon_0$

的介质中斜入射， $z=0$  的平面是空气和介质的交界面，已知工作波长  $\lambda = 3.14$  米，求：

- (1) 说明入射波的极化状态；
- (2) 若反射波为线极化波，入射角应为多大？
- (3) 入射波矢  $k_1$  的表达式（求出  $a, b$ ，然后写出波矢）
- (4) 反射波的电场表达式

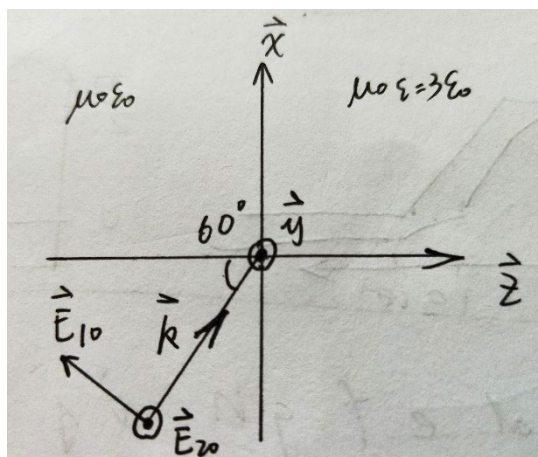
(1)

对于这种波矢  $k$  中带参数的，先通过平面波这一条件求解参数关系

$$\bar{E}_0 \cdot \bar{k} = ja - j\sqrt{3}b = 0, \quad a = \sqrt{3}b$$

$$\text{并将电场分解为两个分量 } \bar{E}_{10} = j\bar{x}_0 - j\sqrt{3}\bar{x}_0, \quad \bar{E}_{20} = 2\bar{y}_0$$

画出电场两个分量以及波矢  $k$  的方向示意图如下：



注意在分解电场的时候要使得两分量  $\vec{E}_{10} \times \vec{E}_{20}$  的方向为波矢  $k$  的方向

由此判断极化情况:  $\frac{E_{20}}{E_{10}} = -j$ , 是右旋圆极化

(2)

圆极化波入射, 反射波为线极化波, 说明满足布儒斯特角

布儒斯特角  $\theta_b$ : TM波 (水平极化) 全透射, 反射波只有TE波 (垂直极化)

垂直极化: 垂直于所取的主截面 (入射面), 在此题中即垂直于  $xOz$  平面的  $\vec{E}_{20}$

$$\theta_i = \theta_b = \arctan \sqrt{\frac{\epsilon_2}{\epsilon_1}} = \arctan \sqrt{\frac{\epsilon}{\epsilon_0}} = \arctan \sqrt{3} = 60^\circ$$

(3)

$$\lambda = 3.14 = \pi, k = 2\pi/\lambda = 2, k_x = a = \sqrt{3}, k_z = b = 1$$

$$k = \sqrt{3}\vec{x}_0 + \vec{z}_0$$

(4)

由于满足布儒斯特角, 因此只有TE分量  $\vec{E}_{20}$  发生反射

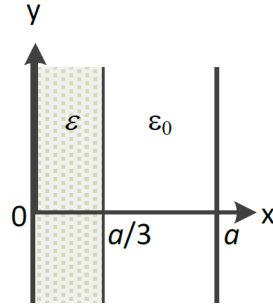
$$k_x = \sqrt{3}, k_{z1} = 1, k_{z2} = \sqrt{k_2^2 - k_x^2} = \sqrt{\epsilon k_1^2 - k_x^2} = 3$$

$$\Gamma = \frac{k_{z1} - k_{z2}}{k_{z1} + k_{z2}} = -\frac{1}{2}$$

$$\vec{E}^r = \vec{E}_y = -\vec{y}_0 e^{-j(\sqrt{3}x - z)}$$

## 平板介质波导横向谐振原理

以下图为例：



$$Z_{in} = Z_c \frac{Z_L + jZ_c \tan(kl)}{Z_c + jZ_L \tan(kl)}, \quad Y_{in} = Y_c \frac{Y_L + jY_c \tan(kl)}{Y_c + jY_L \tan(kl)}$$

$$k_{x1} = \sqrt{k_1^2 - k_z^2} = \sqrt{\omega^2 \varepsilon \mu - k_z^2}$$

$$k_{x2} = \sqrt{k_2^2 - k_z^2} = \sqrt{\omega^2 \varepsilon_0 \mu - k_z^2}$$

$$Y_1 = \frac{k_{x1}}{\omega \mu}, \quad Y_2 = \frac{k_{x2}}{\omega \mu}$$

取定参考面为：  $x = a/3$ ，从  $x = 0$  处和  $x = a$  处向参考面阻抗变换

同时认为在  $x = 0$  处和  $x = a$  处是平板介质波导的导体边界，视为短路  $Y_L = \infty$

$$\bar{Y} = Y_1 \frac{\infty + jY_1 \tan(k_{x1}a/3)}{Y_1 + j\infty \tan(k_{x1}a/3)} = -jY_1 \cot(k_{x1}a/3)$$

$$\bar{Y} = Y_2 \frac{\infty + jY_2 \tan(2k_{x2}a/3)}{Y_2 + j\infty \tan(2k_{x2}a/3)} = -jY_2 \cot(2k_{x2}a/3)$$

色散方程：  $\bar{Y} + \bar{Y} = 0$ ，化简得：

$$\sqrt{\omega^2 \varepsilon \mu - k_z^2} \cot\left(a\sqrt{\omega^2 \varepsilon \mu - k_z^2}/3\right) + \sqrt{\omega^2 \varepsilon_0 \mu - k_z^2} \cot\left(2a\sqrt{\omega^2 \varepsilon_0 \mu - k_z^2}/3\right) = 0$$

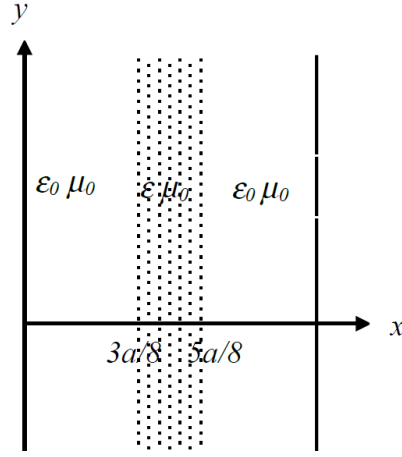
在  $\varepsilon = 4\varepsilon_0, \mu = \mu_0$  条件下求截止频率，截止时满足  $k_z = 0$

$$\sqrt{\varepsilon} \cot\left(a\sqrt{\omega^2 \varepsilon \mu_0}/3\right) + \sqrt{\varepsilon_0} \cot\left(2a\sqrt{\omega^2 \varepsilon_0 \mu_0}/3\right) = 0$$

$$2 \cot\left(2a\sqrt{\omega^2 \varepsilon_0 \mu_0}/3\right) + \cot\left(2a\sqrt{\omega^2 \varepsilon_0 \mu_0}/3\right) = 0$$

$$\cot\left(2a\sqrt{\omega^2 \varepsilon_0 \mu_0}/3\right) = 0, \quad \omega = 3\pi/4a\sqrt{\varepsilon_0 \mu_0}, \quad f = \omega/2\pi$$

遇到如下图所示的对称介质，可使用对称面开路/短路技巧：



介质关于 $x = a/2$ 处对称，并且对称面开路 $Y_L = 0$

$$k_{x1} = \sqrt{k_1^2 - k_z^2} = \sqrt{\omega^2 \varepsilon_0 \mu - k_z^2}$$

$$k_{x2} = \sqrt{k_2^2 - k_z^2} = \sqrt{\omega^2 \varepsilon \mu - k_z^2}$$

$$Y_1 = \frac{k_{x1}}{\omega \mu}, Y_2 = \frac{k_{x2}}{\omega \mu}$$

取定参考面为： $x = 3a/8$ ，从 $x = 0$ 处和 $x = a/2$ 处向参考面阻抗变换  
同时认为在 $x = 0$ 处是平板介质波导的导体边界，视为短路 $Y_L = \infty$

$$\bar{Y} = Y_1 \frac{\infty + jY_1 \tan(3k_{x1}a/8)}{Y_1 + j\infty \tan(3k_{x1}a/8)} = -jY_1 \cot(3k_{x1}a/8)$$

$$\bar{Y} = Y_2 \frac{0 + jY_2 \tan(k_{x2}a/8)}{Y_2 + j0 \tan(k_{x2}a/8)} = jY_2 \tan(k_{x2}a/8)$$

色散方程： $\bar{Y} + \bar{Y} = 0$ ，化简得：

$$\sqrt{\omega^2 \varepsilon_0 \mu - k_z^2} \cot\left(3a\sqrt{\omega^2 \varepsilon_0 \mu - k_z^2}/8\right) - \sqrt{\omega^2 \varepsilon \mu - k_z^2} \cot\left(a\sqrt{\omega^2 \varepsilon \mu - k_z^2}/8\right) = 0$$

在 $\varepsilon = 9\varepsilon_0, \mu = \mu_0$ 条件下求截止频率，截止时满足 $k_z = 0$

$$\sqrt{\varepsilon_0} \cot \cot\left(3a\sqrt{\omega^2 \varepsilon_0 \mu_0}/8\right) - \sqrt{\varepsilon} \tan\left(a\sqrt{\omega^2 \varepsilon \mu_0}/8\right) = 0$$

$$\cot\left(3a\sqrt{\omega^2 \varepsilon_0 \mu_0}/8\right) - 3 \tan\left(3a\sqrt{\omega^2 \varepsilon_0 \mu_0}/8\right) = 0$$

$$\cot\left(3a\sqrt{\omega^2 \varepsilon_0 \mu_0}/8\right) = \sqrt{3}, \omega = 4\pi/9a\sqrt{\varepsilon_0 \mu_0}, f = \omega/2\pi$$

## 波导：

在自由介质中电磁波参数为： $\lambda \omega v$

$$\text{截止条件: } k_t^2 = \omega_c^2 \mu \varepsilon = \left( \frac{m\pi}{a} \right)^2 + \left( \frac{n\pi}{b} \right)^2$$

$$\text{截止波长: } \lambda_c = 2\pi/k_t = \frac{2\pi}{\sqrt{\left( \frac{m\pi}{a} \right)^2 + \left( \frac{n\pi}{b} \right)^2}}$$

$$\text{截止频率: } f_c = v/\lambda_c$$

$$k_z = \sqrt{\omega^2 \mu \varepsilon - k_t^2}$$

$$\text{波导中的相速度: } v_p = \frac{\omega}{k_z} = \frac{v}{\sqrt{1 - \lambda^2/\lambda_c^2}}$$

$$\text{波导中的群速度: } v_g = \frac{d\omega}{dk_z} = v\sqrt{1 - \lambda^2/\lambda_c^2}$$

$$\text{定义波导中等相位面的间距为波导波长: } \lambda_g = \frac{v_p}{f} = \frac{\lambda}{\sqrt{1 - \lambda^2/\lambda_c^2}}$$

$$\text{可见在波导中: } v_p > v > v_g, \quad v_p \cdot v_g = v^2$$

$$\text{波导中的波阻抗: } Z_{mn} = \eta \frac{\lambda_g}{\lambda} = \frac{\omega \mu}{k_z}, \quad \text{等效波阻抗: } Z_{emn} = \frac{b}{a} Z_{mn}$$

$$\text{TE}_{10} \text{模: } \lambda_c = 2a$$

## 传输线：

$$Z_{in} = Z_c \frac{Z_L + jZ_c \tan(kl)}{Z_c + jZ_L \tan(kl)}$$

$$\rho = \frac{1 + |\Gamma|}{1 - |\Gamma|} = \frac{|U_{\max}|}{|U_{\min}|}, \quad |\Gamma| = \frac{\rho - 1}{\rho + 1}$$

注意此处 $z$  的方向为源端指向负载端

$$\Gamma(z) = \Gamma(0)e^{j2kz} = |\Gamma|e^{j(\varphi(0) + 2kz)}$$

$$Z(z) = Z_c \frac{1 + \Gamma(z)}{1 - \Gamma(z)} = Z_c \frac{Z(0) - jZ_c \tan(kz)}{Z_c - jZ(0) \tan(kz)}$$

$$\Gamma(z) = \frac{Z(z) - Z_c}{Z(z) + Z_c}$$

$$U(z) = (1 + \Gamma(z))U^i e^{-jkz}, \quad I(z) = (1 - \Gamma(z))\frac{U^i}{Z_c} e^{-jkz}$$

$$\text{传输功率: } P = \frac{1}{2} \frac{|U_{\max}|^2}{\rho Z_c} = \frac{1}{2} |U_{\max}| |I_{\min}|$$

天线:

天线增益、有效面积:

$$\text{偶极子天线有效面积: } A_e = \frac{3\lambda^2}{8\pi}$$

$$\text{偶极子天线方向性: } G_D = \frac{3}{2} \sin^2 \theta$$

传输方程: 发射天线馈入功率  $P_t$  天线增益  $G_t$  距离  $r$

$$r \text{ 处功率密度: } P_{trans} = \frac{P_t G_t}{4\pi r^2}$$

$$\text{接收天线有效面积: } A_{er}, \text{ 接收 (最大) 功率: } P_{r, \max} = P_{trans} A_{er} = \frac{\lambda^2}{(4\pi r)^2} P_t G_t G_r$$

$$\text{天线方向性与有效面积之间的关系: } G_D = \frac{4\pi}{\lambda^2} A_e$$

天线增益取dB是取  $10\log_{10}$

天线辐射场公式:

$$\text{电基本振子: } \vec{E} = \bar{\theta}_0 \eta \frac{jk l l e^{-jkr}}{4\pi r} \sin \theta, \quad \vec{H} = \bar{\phi}_0 \frac{jk l l e^{-jkr}}{4\pi r} \sin \theta$$

$$\text{线天线: } \vec{E} = \bar{\theta}_0 \eta \frac{jke^{-jkr}}{4\pi r} \sin \theta U(\theta)$$

$$\text{短振子天线: } U(\theta) = \frac{1}{2} I(l_1 + l_2)$$

$$\text{中心激励天线: } U(\theta) = I \frac{2}{k \sin^2 \theta} \left[ \cos\left(\frac{kl}{2} \cos \theta\right) - \cos\left(\frac{kl}{2}\right) \right]$$

天线镜像:

垂直放置电基本振子的镜像

根据镜像原理, 可等效于在导体平面下方处也有同相的天线

$$\vec{E} = \bar{\theta}_{10} \eta \frac{jk l l e^{-jk r_1}}{4\pi r_1} \sin \theta_1 + \bar{\theta}_{20} \eta \frac{jk l l e^{-jk r_2}}{4\pi r_2} \sin \theta_2$$

在远区, 可认为  $\bar{\theta}_{10} \approx \bar{\theta}_{20} = \bar{\theta}_0$ ,  $\theta_1 \approx \theta_2 = \theta$ ,  $|\vec{r}_1| \approx |\vec{r}_2| = r$

$$\vec{E} = \bar{\theta}_0 \eta \frac{jk l l}{4\pi r} \sin \theta (e^{-jk r_1} + e^{-jk r_2})$$

再近似  $r_1 \approx r - h \cos \theta$ ,  $r_2 \approx r + h \cos \theta$

$$\vec{E} = \bar{\theta}_0 \eta \frac{jk l l e^{-jkr}}{2\pi r} \sin \theta \cos(kh \cos \theta)$$

$$\vec{H} = \bar{\phi}_0 \frac{jk l l e^{-jkr}}{2\pi r} \sin \theta \cos(kh \cos \theta)$$

方向函数为:  $f(\theta, \phi) = 2 \sin \theta \cos(kh \cos \theta)$

以下图所示题目进一步分析镜像天线：

4、(15 分) 如图所示，完纯导体 (xy 平面) 上垂直放置或水平放置一根电基本振子天线，分别为  $L_1$  和  $L_2$ ，这两种情况下，已知天线中心与导体的距离均为  $\lambda/2$ ，电基本振子天线由同一个源激励，激励功率相等，中心激励电流均为  $I_0$ 。试求：

- (1) 根据镜像原理，分别画出这两种情况下，天线关于完纯导体的镜像；
- (2) 分别求这两情况下，天线与镜像组成的天线阵的阵因子；
- (3) 分别求这两种情况下天线电场的辐射方向函数。

**(1) 垂直放置**

可等效于在导体平面下方处也有同相的天线

$$\bar{E} = \bar{\theta}_0 \eta \frac{jkI_0 L_1 e^{-jkr}}{2\pi r} \sin \theta \cos(kh \cos \theta) = \bar{\theta}_0 \eta \frac{jkI_0 L_1 e^{-jkr}}{2\pi r} \sin \theta \cos(\pi \cos \theta)$$

$$\text{阵因子: } F(\theta) = 2 \cos(\pi \cos \theta)$$

$$\text{方向函数为: } f(\theta, \phi) = 2 \sin \theta \cos(\pi \cos \theta)$$

**(2) 水平放置**

可等效于在导体平面下方处有一反相 的天线

此时用单个偶极子天线的公式合成比较麻烦，不妨直接套用阵列天线模型

$$d = \lambda, N = 2, \psi = \pi$$

$$\bar{E} = \bar{\theta}_{x0} \frac{jk\eta e^{-jkr}}{4\pi r} \sin \theta_x \cdot U(\theta_x) \cdot 2 \cos\left(\pi \cos \gamma_x + \frac{\pi}{2}\right)$$

$$\bar{E} = \bar{\theta}_{x0} \frac{jk\eta e^{-jkr}}{4\pi r} \sin \theta_x \cdot I_0 L_2 \cdot 2 \cos\left(\pi \cos \gamma_x + \frac{\pi}{2}\right)$$

$$\bar{E} = \bar{\theta}_{x0} \frac{jk\eta I_0 L_2 e^{-jkr}}{2\pi r} \sin \theta_x \cos\left(\pi \cos \gamma_x + \frac{\pi}{2}\right)$$

$$\text{注意到 } \gamma_x = \theta, \sin \theta_x = \sqrt{1 - \sin^2 \theta \cos^2 \phi}$$

$$\text{阵因子: } F(\theta) = 2 \cos\left(\pi \cos \theta + \frac{\pi}{2}\right)$$

$$\text{方向函数为: } f(\theta, \phi) = 2 \sqrt{1 - \sin^2 \theta \cos^2 \phi} \cos\left(\pi \cos \theta + \frac{\pi}{2}\right)$$

**天线阵列：**



## 选择题:

麦克斯韦方程组相关:

$$\left\{ \begin{array}{l} \oint_S \bar{D} \cdot d\bar{S} = \int_V \rho_e dV \\ \oint_l \bar{E} \cdot d\bar{l} = - \int_s \frac{\partial \bar{B}}{\partial t} \cdot d\bar{S} \\ \oint_S \bar{B} \cdot d\bar{S} = 0 \\ \oint_l \bar{H} \cdot d\bar{l} = \int_s \bar{J} \cdot d\bar{S} + \int_s \frac{\partial \bar{D}}{\partial t} \cdot d\bar{S} \end{array} \right. \quad \left\{ \begin{array}{l} \nabla \cdot \bar{D} = \rho_e \\ \nabla \times \bar{E} = - \frac{\partial \bar{B}}{\partial t} \\ \nabla \cdot \bar{B} = 0 \\ \nabla \times \bar{H} = \bar{J} + \frac{\partial \bar{D}}{\partial t} \end{array} \right. \quad \left\{ \begin{array}{l} \nabla \cdot \tilde{D} = \tilde{\rho}_e \\ \nabla \times \tilde{E} = -j\omega \tilde{B} \\ \nabla \cdot \tilde{B} = 0 \\ \nabla \times \tilde{H} = \tilde{J} + j\omega \tilde{D} \end{array} \right.$$

$$\nabla \cdot \bar{J} = - \frac{\partial \rho_e}{\partial t} \quad \nabla \cdot \tilde{J} = -j\omega \tilde{\rho}_e$$

介质2为完纯导体  $\sigma_2 = \infty$

介质分界面法矢量  $\bar{n}_0$  由2指向1

$$\bar{J}_s = \bar{n}_0 \times \bar{H}_{1t}$$

$$\bar{D}_{1n} = \sigma_s \cdot \bar{n}_0$$

1. 时变的电场和磁场互相激励, 彼此为源, 由近及远向外传播
2. 任意矢量场可以由其散度、旋度和边界条件唯一地确定
3. 满足波动方程的场不一定满足麦克斯韦方程组
4. 平面波在导电介质中传播等相位面为无限大平面
5. 平面波以某不为零的角度由介质 1 入射到介质 2, 反射波为零的必要条件: **入射波电场与入射面平行**
6. 均匀平面波在与波传播方向垂直的无限大平面内, 电场和磁场的方向、振幅和相位都相同
7. 均匀平面波是 TEM 波
8. 在均匀介质中传播的平面波**不一定**都是均匀平面波
9. 理想导体表面的垂直入射, 合成波的**相位沿传播方向不连续**, 半波损失相位差  $\pi$
10. 坡印廷矢量不一定垂直于电场强度矢量
11. 电场切向连续; 电位移矢量法向连续; 磁场强度切向连续; 磁感应强度法向连续
12. 均匀平面波从波阻抗为  $Z_1$  的无耗介质垂直入射至波阻抗为  $Z_2$  的无耗介质, 若  $Z_1 > Z_2$ , 则两种介质中电磁波功率的时间平均值的关系为**相等**
13. 时变场中, 矢量位  $A$  和标量位  $\Phi$  二者是由**洛伦兹条件**相互联系
14. 用于**微波炉加热食物的容器**, 其材料的主要特点是**导电率很小**
15. **线性物质**是指  $\epsilon \mu \sigma$  与  $E$ 、 $B$  的强度无关
16. 在**各向异性介质**中,  $D$ 、 $B$  和  $k$  的方向相互垂直
17. 一恒定磁场  $H_0$  加在铁氧体上, 一线极化平面波以波矢  $k$  为  $H_0$  方向入射铁氧体, 测得透射波的极化方向旋转了  $30^\circ$ 。如果在铁氧体后面放置理想导体, 将透射波全反射, 再次透过氧体后, 反射波的极化方向相对于入射波为 **旋转了  $60^\circ$ 度**
18. 如图所示, 一理想导体平板前  $\lambda/8$  处放置一个与水平方向成  $45^\circ$  的金属栅, 若一**水平极化**的平面波入射, 则反射波**左旋圆极化波**
19. 上题中改为  $\lambda/4$ , 反射波为**垂直极化波**
- 20.

## 21. 四分之一波板

定义  $k_e = k_0 \sqrt{\varepsilon_e} = k_0 n_e$ ,  $k_o = k_0 \sqrt{\varepsilon_o} = k_0 n_o$

$$k_B = |k_e - k_o|, \lambda_B = \frac{2\pi}{k_B}$$

两束光相位差:  $\varphi = k_B d$ , 当  $\varphi = \frac{\pi}{2} + k\pi$  时出射圆极化波,  $d = \frac{1}{4} \lambda_B = \frac{\lambda}{4\Delta n}$

一平面波以垂直光轴的方向入射单轴电各向异性介质, 电磁波的极化方向与光轴成 45 度。已知各向异性介质的 o 光折射率为  $n_o$ , e 光折射率为  $n_e$ ,  $\Delta n = |n_o - n_e|$ , 则介质厚度为 (  $\frac{\lambda}{4\Delta n}$  的奇数倍 ) 时, 出射的电磁波为圆极化波。

如果厚度为  $\frac{\lambda}{2\Delta n}$  出射的电磁波为线极化波, 极化方向旋转了 90 度

22.

## 传输线、波导、谐振腔:

23. 一段传输线, 其中电压驻波系数恒定为  $\rho$ , 沿线各参考面上能出现的最大电纳为

$$b_{\max} = \pm \frac{1}{R} = \frac{\rho^2 - 1}{2\rho}$$

24. 特征阻抗为  $Z_0$  的均匀无耗传输线上传输行驻波, 驻波系数为  $\rho$ , 其电压波腹处(电压最大处)的输入阻抗为  $\rho Z_0$ , 电压波节处为  $Z_0/\rho$

25. 如果源内阻为实数, 只要负载与源内阻相同, 就能利用任意特征阻抗的 TEM 模传输线在全波段实现行波传输。是错误的

26. 在传播 TE<sub>10</sub> 模的矩形波导中, 当填充介质 ( $\varepsilon_r \varepsilon_0$ ,  $\mu_0$ ) 后 ( $\varepsilon_r > 1$ ), 设工作频率不变, 则其特征阻抗将变小

27. 矩形波导中传播模式的有效介电常数小于填充介质的介电常数

28. 圆波导不适合用来做传输系统

29. 汽车在隧道中接收不到电台信号, 是因为隧道可等效成圆波导, 而信号频率在此圆波导截止频率以下

30. 圆波导中 TE 模表示为 TE<sub>mn</sub> 时, m 表示场沿圆周分布的驻波数, n 表示场沿半径分布的半驻波数或场的最大值个数

31. 圆波导的 TE<sub>11</sub> 模和矩形波导的 TE<sub>10</sub> 模场分布类似

32. 圆波导 TE<sub>0n</sub> 与 TM<sub>1n</sub> 模式简并

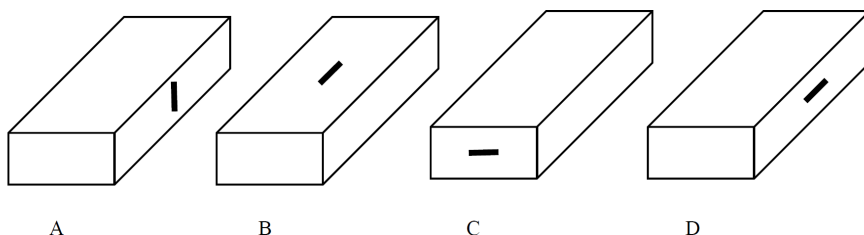
33. 圆波导除了 TE<sub>0n</sub> 与 TM<sub>0n</sub> 模式外都存在极化简并, 场结构相同, 极化面旋转 90°/m

34. 二个金属空腔谐振器, 形状尺寸完全相同, 一个材料是铝, 一个材料是铜, 品质因素铜腔大

35. 用铁锤敲打矩形空腔谐振器的顶部, 使之略有凹陷, 问其谐振频率变大

36. 一圆柱空腔谐振器, 在其内部放入一小块介质, 问其谐振频率变小

37. 下列四个由空气填充的矩形谐振腔, 谐振于 TE<sub>102</sub> 模式, 在壁上不同位置开同样尺寸的狭缝, 问品质因素 Q 最小的是 C



### 38. 谐振腔中插入青草叶子：

插入青草相当于增大谐振腔损耗，即增大  $G_0$ ，增大了  $g'_0$

$\beta > 1$ ， $g'_0 < 1$ ，当青草逐渐插入， $g'_0$  先小于 1 后大于 1，因此反射系数的模先减小

后增大，反射功率  $p_r = |\Gamma_u|^2$  先减小后增大，曲线先下降后上升。

$\beta < 1$ ， $g'_0 > 1$ ，当青草逐渐插入， $g'_0$  单调增大，因此反射系数的模单调增大，反射

功率  $p_r = |\Gamma_u|^2$  单调增大，曲线单调上升。

### 39. 一个 10GHz 的飞机雷达，其所采用的窄波束扫描天线，安装在一个电介质天线罩后面，将天线罩近似看成无耗平板介质板（雷达波束垂直入射）， $\epsilon_r = 4$ ，则其厚度为

多少时，对雷达波束没有反射。（1.5cm）

可以认为是横向谐振， $kd = n\pi$ ， $d=0.75\text{cm}$  的整数倍

即  $d = \frac{\lambda_0}{2\sqrt{\epsilon_r}}$  的整数倍， $\lambda_0$  当前频率电磁波的真空波长

40.

### 光纤：

41. 光纤是一种介质光波导，其包层折射率必须比纤芯低，从而实现全内反射

42. 梯度光纤中的模间色散要比阶跃光纤小得多，因而具有更高的传输带宽

43. 光纤可以单模工作在 LP01，**LP01 模不具有低频截止**的特性

44. 光纤中传播的电磁波是准 TEM 模

45. 数值孔径较大光纤传输带宽较小

46. 数值孔径较大光纤聚光能力较强

47. 数值孔径较大光纤模间色散较大

48. 数值孔径较大纤芯和包层相对折射率差较大

### 天线：

49. 天线增益考虑了天线材料中的欧姆损耗，而天线方向性则没有

50. **天线增益**表示天线把输入功率集中辐射的程度，**而不是**馈入天线电磁信号的放大倍数

51. 有一个二单元天线阵，两个单元为线天线，沿 z 轴排列，相隔距离为 d，天线的激励

幅度相同，相位差为  $\psi$ ，哪种情况下，沿 z 轴的辐射为零  $\psi = \frac{\pi}{2}, d = \frac{\lambda}{4}$

52. 如图所示,有两个电基本振子,分别沿  $X$  和  $Y$  轴分布。设电流分别为  $\cos\omega t$  和  $\sin\omega t$ , 长度皆为  $\Delta l$ 。忽略振子间的耦合。则 $+X$  轴上和 $+Z$  轴上远场点的电场极化状态分别为 (线极化; 右旋圆极化)